

Practical session 2

Authors Ferran Dalmau Codina: u150401 206744 and Jalal Douiri: U150388 206338¹

^{*} Universitat Pompeu Fabra

Compiled May 7, 2019

1. GRADIENT DESCEND

2. EXERCISE 1

toy_fun.m

```
y = (1/500)*((x(1)^4)+(x(2)^4)-(90*x(1)^2)
-(60*x(2)^2)+(100*x(1))+(20*x(2))+1);
```

toy_gradient.m

```
grad = zeros(2,1);
% >>> complete >>>
grad(1) = 1/500*(4*x(1)^3-180*x(1)+100);
grad(2) = 1/500*(4*x(2)^3-120*x(2)+20);
```

La variable grad(1) almacena la derivada parcial respecto x(1).

La variable grad(2) almacena la derivada parcial respecto x(2).

3. EXERCISE 2

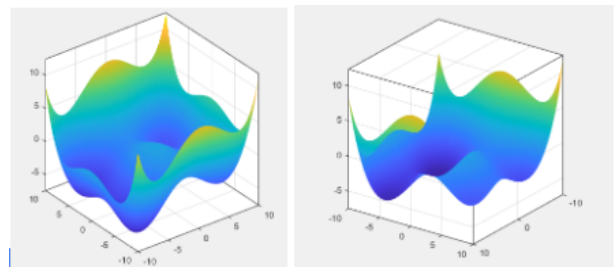
gradient_descent.m

```
norm_gf=inf;
iter=0;
while (iter <= max_iters)
    iter=iter+1;
    % keep x_old - just for visualization
    x_old = x;
    % gradient descent update
    gf=grad(x_old, fun_prms);
    x = x_old - step_size*gf;
```

Grad es un puntero a la funcion que retorna el gradiente de la funcion correspondiente, y fun_params es una clase que contine informacion relativa a step size y numero de iteraciones. $\mathbf{x} = \mathbf{x_old} - \text{step_size} * \mathbf{gf}$ actualiza el valor de x de manera que el coste de la funcion se minimiza.

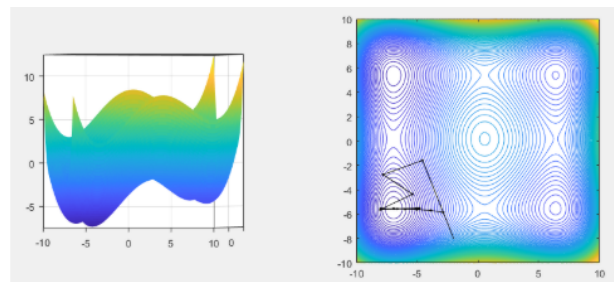
4. EXERCISE 3

A. How many local minima does the function have in the domain



Como podemos observar en las capturas anteriores, deducimos que en el dominio $[10, 10] \times [10, 10]$ hay cuatro mínimos, tres de ellos son mínimos locales y uno mínimo local.

B. Run the gradient descent starting from . Does it converge to the global minimum?



Cuando cambiamos el punto de inicio del gradient descent, podemos ver que ahora tiende a un mínimo global ya que es el punto más bajo que podemos apreciar de la gráfica.

C. How many iterations are needed to converge?

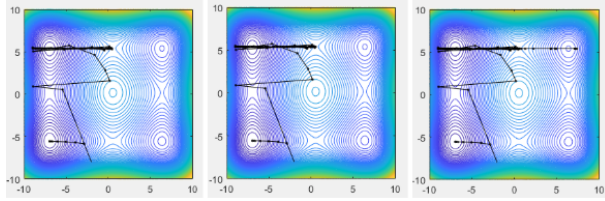
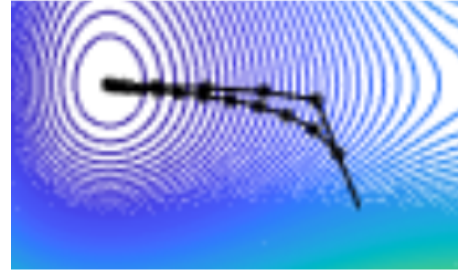


Fig. 1. Para un $\text{step_size} = 4$ y iteraciones de 100, 200 y 300 respectivamente



En las imágenes anteriores podemos ver que cuando más pequeño el step size, mas converge. El paso que converge más, es el que se aproxima más al 0. Probamos el $\text{step_size}=0.5$ y vemos que se aproxima bastante.

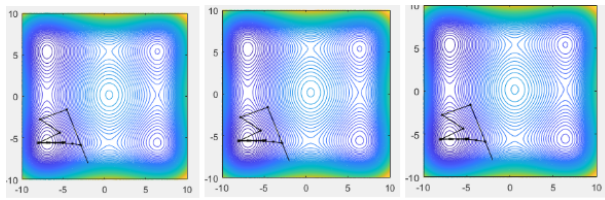


Fig. 2. Para un $\text{step_size} = 3$ y iteraciones de 100, 200 y 300 respectivamente

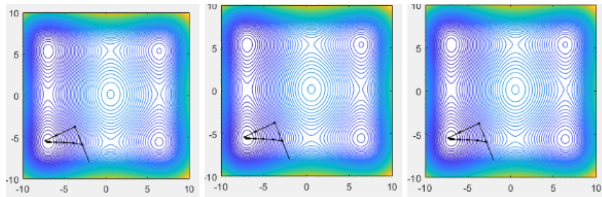
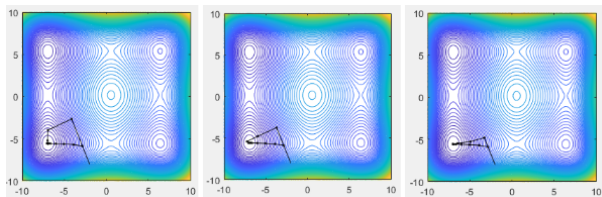


Fig. 3. Para un $\text{step_size} = 2$ y iteraciones de 100, 200 y 300 respectivamente

Como podemos ver en las siguientes imágenes, el gradiente solo cambia si cambiamos el tamaño del paso (step_size), también podemos ver que cada vez que disminuimos el tamaño del paso, converge más.

D. Try different step sizes. Which step sizes yield a faster convergence? Which are more accurat?



5. IMAGE DENOISING ENERGY

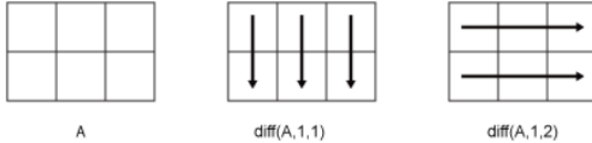
A. Exercise 4

im_fwd_gradient.m

```
function [gradu_j,gradu_i] = im_fwd_gradient(u)
gradu_j = diff(u,1,2);
gradu_j(:, end+1) = 0;
gradu_j(end,:) = 0;
gradu_i = diff(u,1,1);
gradu_i(:, end) = 0;
gradu_i(end+1,:) = 0;
```

Para computar el **forward gradient** de cada eje hacemos uso de la funcion **diff()**, el forward gradient en el eje x (**diff(A,1,2)**) realiza la operacion $u(i+1,j) - u(i,j)$ mientras que (**diff(A,1,1)**) realiza el forward gradient en el eje y $u(i,j+1) - u(i,j)$

En este caso las condiciones de frontera usadas son las condiciones de **Newman**, aunque existen diversas metodologias como **Dirichlet**. En newman el gradiente de las conidicones de frontera son 0, por esta razon se añaden 0 a la ultima columna e fila en los dos gradientes.



im_bwd_divergence.m

```
function divg = im_bwd_divergence(gj, gi)
a = [gj(1,:); gj(1:end,:)];
gradu_j = diff(a,1,1);
b = [gi(:,1), gi];
gradu_i = diff(b,1,2);
divg = gradu_j + gradu_i;
```

Esta función computa el **backward divergence** de gi, gj, que tomaran el valor de los gradientes parciales multiplicados por una matriz c que se mantendrá constante.

Para poder realizar el backward gradient, tenemos que añadir una fila extra en caso de **diff(A,1,1)**, e una columna extra en el caso de **diff(A,1,2)**.

Primero duplicamos la primera fila en la matriz gj, para crear una condicion de frontera tipo **Newman** cuando se aplique el gradiente **diff(A,1,1)**.

	1	2	3	4	5	6	7	8	9	10	11
1	25.8281	5.2518	26.2947	-3.2362	6.1369	-13.9099	-1.3069	0.7083	28.8547	-34.2703	20.9614
2	25.8281	5.2518	26.2947	-3.2362	6.1369	-13.9099	-1.3069	0.7083	28.8547	-34.2703	20.9614
3	-81.2140	-0.9873	33.7474	-44.6504	47.8625	-34.0018	-3.7579	-59.2135	0.0399	34.1062	-34.1063
4	61.3898	14.8232	-75.3786	-6.9736	-54.4170	14.2468	-26.8958	39.7142	22.3961	-39.9471	21.9578
5	-10.6377	-2.9548	28.2874	-39.8772	27.2099	12.2440	-11.1987	-17.7579	-58.3832	26.6391	1.5750
6	-30.0072	9.0281	-35.6158	7.6366	-3.4301	21.0559	33.4783	8.6156	18.3108	17.1982	19.7900
7	13.3587	16.3173	59.9120	2.2480	14.0342	-41.3536	16.3582	39.2052	15.4278	-33.6823	-18.2237
8	13.3858	-12.9097	-5.7525	20.6340	-22.6921	42.3611	-56.2799	-47.3124	-11.5047	13.4076	-5.9721
9	61.4860	-52.6678	-58.7192	-0.0458	-57.7524	30.9480	-17.1575	-17.9482	47.2285	27.5137	-29.1128
10	-17.1166	-21.7180	71.2417	-6.4301	26.6538	-70.2484	69.5035	36.9166	-49.5443	-51.6704	-5.5344
11	-81.0754	65.0175	-61.6089	-6.9001	26.3940	18.8632	-29.7906	-10.9458	-43.7749	-2.4990	43.1156
12	88.2838	-33.2350	26.7531	-13.5473	-2.9686	-20.9480	20.6396	-9.7192	62.7192	40.7273	-25.7967

Fig. 4. matriz a con condiciones de Newman aplicadas

	1	2	3	4	5	6	7	8	9	10	11
1	0	0	0	0	0	0	0	0	0	0	0
2	-107.0421	-6.2391	7.4627	-41.4142	41.7256	-10.0919	-2.4510	-59.9218	-28.0148	58.3765	-55.0656
3	142.8037	15.8105	-109.1260	37.6768	-102.2795	38.2486	-23.1379	98.8277	21.5562	-64.0534	96.0621
4	-72.0275	-17.7780	103.6660	-32.9037	81.6270	-1.9528	15.6971	-57.4720	-80.7793	66.5962	-20.3828
5	-19.3694	11.9829	-63.9032	47.5139	-30.6400	8.7620	44.6770	26.3735	76.6940	-9.4409	18.2150
6	43.3658	7.2892	95.5278	-5.3887	17.4643	-62.4096	-17.1200	30.5896	-2.8830	-50.8804	-38.0137
7	0.0271	-29.2270	-65.6644	18.3860	-36.7262	83.7147	-72.6382	-86.5176	-26.9325	47.0899	12.2516
8	48.1002	-39.7581	-52.9667	-20.6797	-35.0803	-11.4131	39.1225	29.3642	58.7332	14.1061	-23.1407
9	-78.6026	30.9497	129.9609	-6.3844	84.4062	-101.1963	86.6610	54.8648	-96.7728	-79.1841	23.5784
10	-43.9588	86.7355	-132.8506	-0.4899	1.7402	89.1116	-99.2941	-47.8624	5.7694	49.1713	48.6500
11	169.3592	-118.2525	88.3620	-6.6472	-31.3827	-39.8092	50.4303	1.2266	106.4941	43.2264	-68.9123
12	-133.2866	91.9259	-8.6958	28.9290	33.7578	-2.4649	-16.5242	42.2990	-104.2172	-61.8284	34.9544

Fig. 5. matriz a despues de aplicar diff(a,1,1)

B. Exercise 5

denoise_energy_gradient.m

```
function grade = denoise_energy_gradient(u, prms)
f = prms.f;
c = prms.c;
beta = prms.beta;
%%TO COMPLETE
[gj, gi] = im_fwd_gradient(u);
x = im_bwd_divergence(c.*gi, c.*gj);
grade = (-2*(x))+(2*beta*(u-f));
```

En este codigo el gradiente de la energia que es usado en **Gradient Descend** viene dado por **grade**, donde **beta** es un escalar que tiene el papel de mantener similitudes entre la imagen original y la denoised, a mayor beta, menor es el cambio respecto la imagen original. Este cambio se manifiesta de distintas formas dependiendo de la matriz **f** que que magnifica la energia de los pixeles que conforman edges en la imagen, pero a grandes rasgos una beta pequeña implica una imagen con mas **blur**.

C. Exercise 6: Results



Fig. 6. Original image without noise



Fig. 7. Original image with noise



Fig. 9. Denoised image with $\beta = 2.5$

En los dos ejemplos el gradient step se ha mantenido constante en .09 con 2000 iteraciones y la matriz c ha sido generada por la función **compute edge map**.



Fig. 8. matriz c



Fig. 10. Denoised image with $\beta = .5$

Como podemos observar los pixeles que conforman los edges (altas frecuencias) toman valores cercanos al 0 mientras que los pixeles que estan en zonas de bajas frecuencias toman valores cercanos al uno (como podemos observar la imagen es similar a implementar un sobel filter normalizado). Con este filtro conseguimos que los edges de la imagen tienden a preservarse mientras las partes de baja frecuencia se modifiquen con mas facilidad porque to tienen tanto impacto en terminos de energia.

Como podemos observar, entre las dos imagenes **Fig. 9 y Fig. 10** se puede observar que la ultima tiene menos ruido, pero se puede observar un efecto **blur** mas acentuado. Esto esta relacionado con las betas:

$$\nabla E(u) = -2 * \text{div}(C * \nabla u) + 2 * \beta(u - f)$$

Como podemos observar en la equacion, un escalar beta mayor castiga los cambios respecto la imagen original, provocando que la imagen con **beta 2.5** (Fig. 9) posea menos cambios en la imagen debido a esta restricci3n. En contrapartida la imagen

con la **beta 0.5** (Fig.10) al no tener esta restriccion produce una imagen con un efecto de denoise mas acentuado, aunque en contrapartida se prduzca un efecto de **blur** en la imagen.

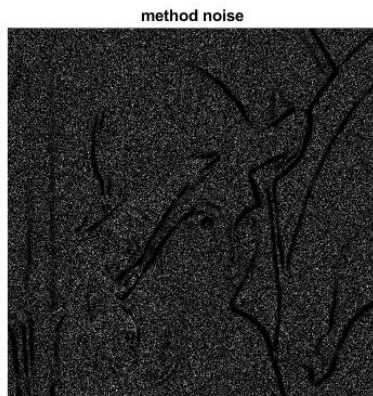


Fig. 11. (imagen denoise - noised image) error(beta 2.5)

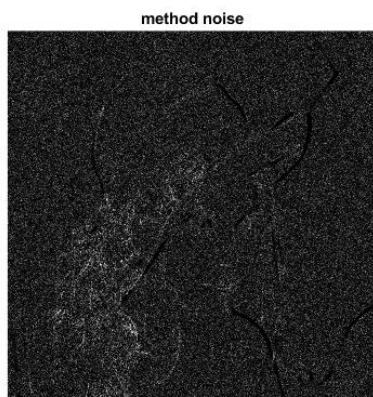


Fig. 12. (imagen denoise - noised image) error(beta 0.5)

Como podemos observar entre la **Fig.11 y Fig.12** la Fig.11 con una beta mayor la diferencia entre la imagen con ruido y denoised es 0 en las zonas de alta frecuencia(edges), mientras que en las zonas de bajas frecuencias se ha producido un efecto de denoising.

En contrapartida, la imagen con una beta menor(Fig.12) se ha producido un efecto de denoise mas acentuado que en la imagen con una beta mayor, pero no ha hecho una distincion tan clara con los edges al momento del denoising, provocando el efecto **blur** tan caracteristico.

D. Efecto de la matriz c



Fig. 13. matriz c = high pass filter(compute edge map.)

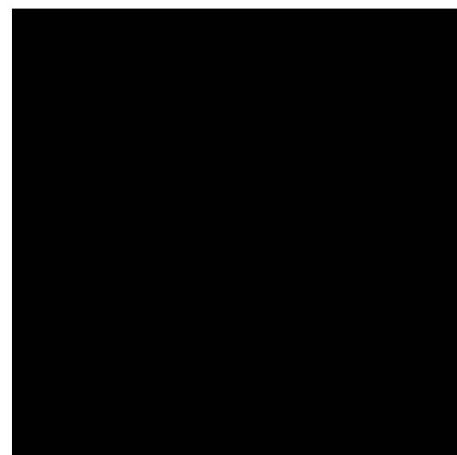


Fig. 14. matriz c = ones(sz)



Fig. 15. Imagen generada con la matriz FIG.14



Fig. 16. Imagen generada con la matriz FIG.13

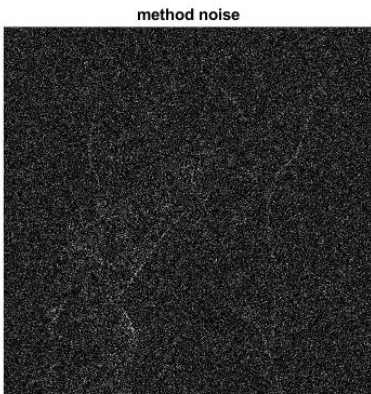


Fig. 17. method noise generada con la matriz FIG.14

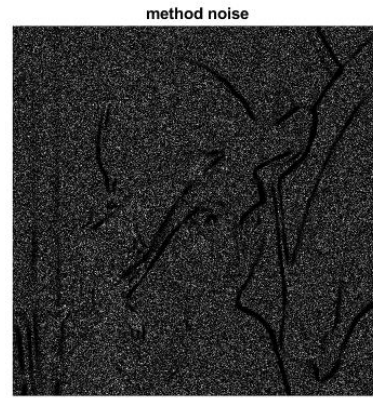


Fig. 18. method noise generada con la matriz FIG.13

Aunque las dos imagenes son parecidas as simple vista se observa que la imagen generada con la matriz c de la FIG.14 contiene un blur mas pronunciado que la generada con la matriz de la FIG.13.

Esto se puede apreciar de manera mas clara con la imagen method noise donde se observa como en la imagen FIG.18 generada con la matriz c de Fig.13 los edges se mantienen inalterables, resultando en una imagen con mas detalle.